

**Introduction**  
A gamma-ray spectrometric and aeromagnetic airborne geophysical survey of the Mierschling Lake West area, Nunavut, was completed by Terrapoint Ltd. The survey was flown from July 31st to September 7th, 2009 using a Piper PA-31 Navajo (C-GOXS). The nominal traverse to control line spacings were, respectively, 400 m and 2400 m, and the aircraft flew at a nominal terrain clearance of 125 m at an average airspeed of 275 km/h. Traverse lines were oriented N20°W with orthogonal control lines. The flight path was recovered following post-flight differential corrections to raw data recorded by a Global Positioning System. The survey was flown on a pre-determined flight surface to minimize differences in magnetic values at the intersections of control and traverse lines.

Un levé géophysique aéroporté de spectrométrie gamma et magnétique a été réalisé dans la partie ouest de la région du lac Mierschling au Nunavut par la société Terrapoint. Le levé a été effectué du 31 juillet au 7 septembre 2009, à bord d'un avion Piper PA-31 Navajo immatriculé C-GOXS. Le tracé nominal des lignes de vol était de 400 m et celui des lignes de contrôle de 2 400 m. L'altitude au-dessus du sol était de 125 m et la vitesse moyenne enregistrée était de 275 km/h. Les lignes de vol étaient orientées à N20°W et les lignes de contrôle leur étaient perpendiculaires. La trajectoire a été récupérée après le vol de corrections différentielles aux données brutes enregistrées avec un récepteur GPS. Le levé a été effectué suivant une surface de vol pré-déterminée afin de réduire le plus possible les différences de valeurs du champ magnétique aux intersections des lignes de contrôle et des lignes de vol.

**Gamma-ray Spectrometric Data / Données de spectrométrie gamma**  
The airborne gamma-ray spectrometry was conducted using Radiation Solutions RS-5000 gamma-ray spectrometry using Canberra 102102405 mm NaI (Tl) crystals. The main detector array consisted of twelve crystals (total volume 50.4 litres). Two crystals (total volume 8.4 litres), shielded by the main array, were used to detect radon in background radiation caused by atmospheric radon. The system assembled 1024 channel spectra from the individual NaI (Tl) detectors with no loss of Poisson statistics. Spectrum stabilization is accomplished by matching the recorded spectra with several natural gamma-ray peaks.  
Potassium is measured directly from the 1460 keV gamma-ray photons emitted by <sup>40</sup>K, whereas uranium and thorium are measured indirectly from gamma-ray photons emitted by daughter products (<sup>214</sup>Pb for uranium and <sup>214</sup>Pb for thorium). Although these daughters are far from their respective decay chains, they are assumed to be in equilibrium with their parents. Thus, gamma-ray spectrometric measurements of uranium and thorium are referred to as equivalent uranium and equivalent thorium, i.e. U<sub>eq</sub> and Th<sub>eq</sub>. The energy windows used to measure potassium, uranium and thorium are, respectively, 1370-1570 keV, 1660-1900 keV, and 2410-2610 keV.  
Gamma-ray spectra were recorded at one-second intervals. Data processing followed standard procedures as described in IAEA, 1991 and IAEA, 2003. During processing, the spectra were energy calibrated, and counts were accumulated into the windows described above. Counts from the radon detectors were recorded in a 1600 - 1800 keV window and radon at energies greater than 2000 keV was recorded in the cosmic window. The window counts were corrected for dead time, background radon from cosmic radiation, atmospheric radon, and atmospheric radon decay products. The window data were then corrected for spectral scattering in the ground, air and detectors. Corrections for deviations from the planned terrain clearance and for variation of temperature and pressure were made prior to conversion to ground concentrations of potassium, uranium and thorium, using factors determined from flights over the Breckenridge test strip. The factors for potassium, uranium, and thorium were, respectively, 91.75 cps/%, 13.53 cps/ppm, and 5.30 cps/ppm.  
Corrected data were interpolated to a 100m grid interval. The results of an airborne gamma-ray spectrometry survey represent the average surface concentrations of the 3 natural radionuclides, and are influenced by nature or overburden, presence of outcrops, vegetation cover, soil moisture and surface water. As a result the measured concentrations are usually lower than the actual bedrock concentrations.

Les mesures du rayonnement gamma ont été effectuées à l'aide d'un spectromètre gamma Radiation Solutions RS-5000 utilisant quatorze cristaux de NaI (Tl) de 102102405 mm. Le principal réseau de capteurs se composait de douze cristaux (volume total de 50,4 litres). Deux cristaux (volume total de 8,4 litres), protégés par le réseau principal, ont été utilisés pour détecter les variations du rayonnement naturel dues au radon atmosphérique. Ce système compte à partir des réponses individuelles des cristaux de NaI(Tl) le spectre de 1024 canaux en respectant une distribution de Poisson. La calibration des spectres est réalisée en ajustant les spectres enregistrés selon plusieurs pics gamma naturels.  
Le potassium est mesuré directement d'après les photons gamma de 1 460 keV émis par le <sup>40</sup>K, tandis que l'uranium et le thorium sont mesurés indirectement selon les photons gamma émis par des produits de fission (<sup>214</sup>Pb pour l'uranium et <sup>214</sup>Pb pour le thorium). Bien que ces radionucléides de fission ne soient pas dans leur chaîne respective de désintégration, on suppose qu'ils sont en équilibre avec leur radionucléide père; ainsi, les mesures spectrométriques du rayonnement gamma de l'uranium et du thorium sont désignées comme des équivalents d'uranium et des équivalents de thorium, soit U<sub>eq</sub> et Th<sub>eq</sub>. Les plages d'énergie utilisées pour mesurer le potassium, l'uranium et le thorium sont respectivement, de 1 370 à 1 570 keV, de 1 660 à 1 900 keV et de 2 410 à 2 610 keV.  
Les spectres du rayonnement gamma ont été enregistrés à intervalle d'une seconde. Le traitement des données a suivi les procédures standards décrites dans IAEA, 1991 et IAEA, 2003. Pendant le traitement, les spectres ont été soustraits à un décalage énergétique et les coups ont été comptés dans les plages décrites ci-dessus. Les coups obtenus à l'aide des capteurs de radon ont été enregistrés dans la plage de 1 600 à 1 800 keV et le rayonnement de radon atmosphérique à 2 000 keV a été enregistré dans la plage du rayonnement cosmique. Les coups enregistrés dans les plages ont été corrigés pour tenir compte du temps mort, du rayonnement de fond dû au rayonnement cosmique, de la radioactivité de l'air et des produits de désintégration du radon atmosphérique. Les données pour les plages ont ensuite été corrigées pour tenir compte de la diffusion spectrale dans le sol, l'air et les capteurs. Les corrections pour les écarts à la hauteur de vol prévue et les variations de température et de pression ont été effectuées avant la conversion en concentrations équivalentes au sol du potassium, de l'uranium et du thorium, en utilisant des facteurs déterminés lors de vols effectués au-dessus de la bande d'essai de Breckenridge. Les facteurs déterminés pour le potassium, l'uranium et le thorium étaient respectivement de 91,75 cps/%, 13,53 cps/ppm, et 5,30 cps/ppm.  
Les données corrigées ont été interpolées suivant une grille à maille de 100 m. Les résultats d'un levé aéroporté de spectrométrie gamma représentent les concentrations moyennes des 3 radionucléides naturels de la surface. Ces mesures sont influencées par la nature et le surcouvert, la présence d'affleurements, la couverture végétale et l'eau de surface. Par conséquent, les concentrations mesurées sont habituellement plus faibles que les concentrations réelles dans le substratum rocheux.

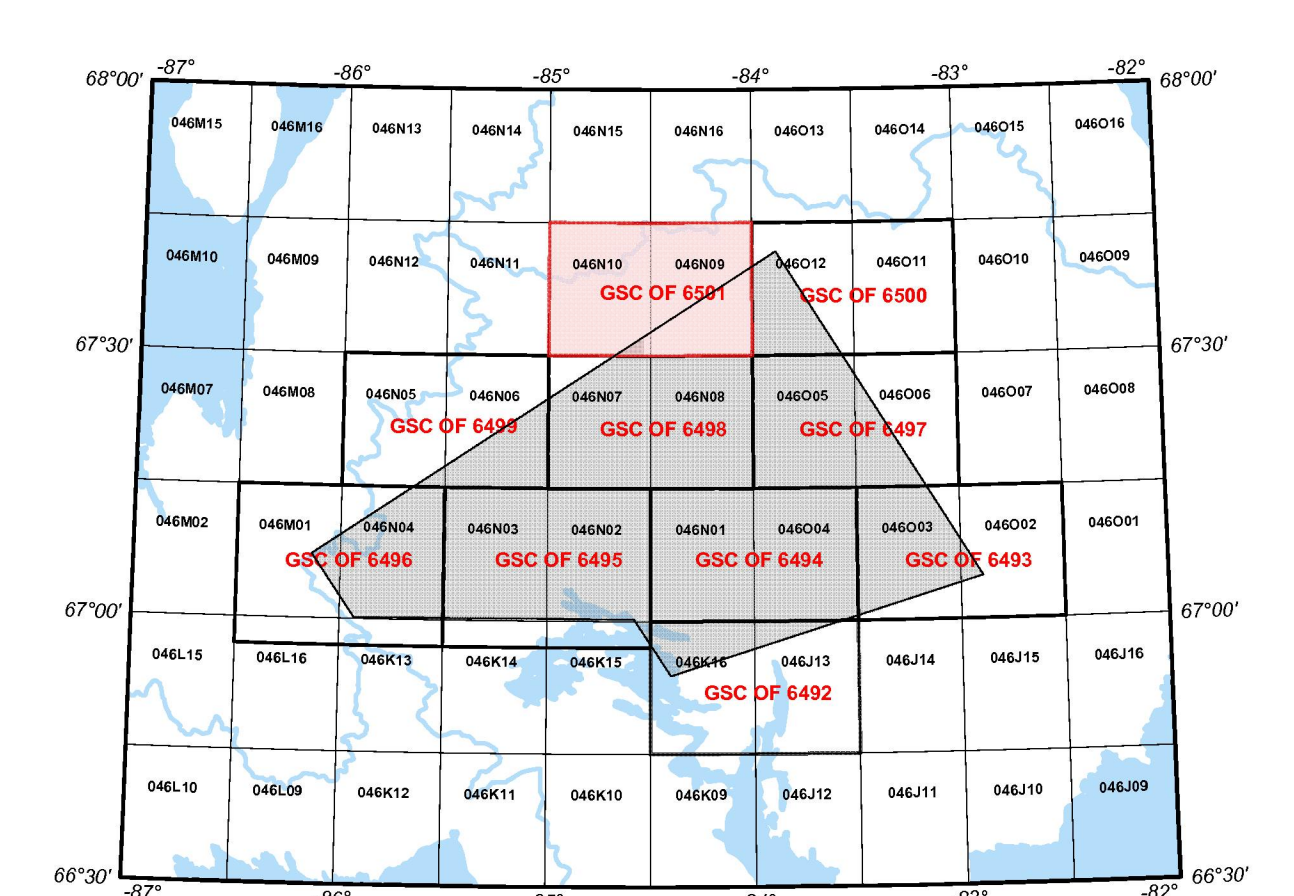
**Magnetic Data / Données sur le champ magnétique**  
The magnetic field was sampled 10 times per second using a split-beam cesium vapour magnetometer (sensitivity = 0.005 nT) rigidly mounted to the aircraft. Differences in magnetic values at the intersections of control and traverse lines were analysed to obtain a mutually levelled set of flightline magnetic data. The levelled values were then interpolated to a 100 m grid. The International Geomagnetic Reference Field (IGRF) defined at the average GPS altitude of 393 m for the year 2009.6 was then removed. Removal of the IGRF, representing the magnetic field of the Earth's core, produces a residual component related essentially to magnetizations within the Earth's crust.  
The first vertical derivative of the magnetic field is the rate of change of the magnetic field in the vertical direction. Computation of the first vertical derivative removes long wavelength features of the magnetic field and significantly improves the resolution of closely spaced and suppressed anomalies. A property of first vertical derivative maps is the coincidence of the zero-value contour with vertical contacts of magnetic units at high magnetic latitudes (Hood, 1965).  
The magnetic field was sampled 10 fois par seconde à l'aide d'un magnétomètre à vapeur de césium à faisceau partagé (sensibilité = 0,005 nT) rigoureusement fixé à l'aéronef. Les différences de valeur du champ magnétique aux intersections des lignes de contrôle et des lignes de vol ont été analysées par ordinateur afin d'obtenir un ensemble de données sur le champ magnétique mutuellement nivelées sur les lignes de vol. Ces valeurs nivelées ont ensuite été interpolées suivant une grille à maille de 100 m. Le champ magnétique international de référence (IGRF) défini à l'altitude moyenne de 393 m pour l'année 2009,6 a été soustrait. La soustraction de l'IGRF, qui représente le champ magnétique du noyau terrestre, résulte en une composante résiduelle essentiellement reliée à la magnétisation de l'écorce terrestre.  
La dérivée première verticale du champ magnétique représente le taux de variation du champ magnétique suivant la verticale. Le calcul de la dérivée première verticale supprime les caractéristiques de grande longueur d'onde du champ magnétique et améliore considérablement la résolution des anomalies rapprochées les unes des autres ou supprimées. L'une des propriétés des cartes de la dérivée première verticale est la coïncidence de l'équivalence de valeur zéro et des contacts verticaux d'unités magnétiques aux hautes latitudes magnétiques (Hood, 1965).

**References / Références**  
Hood, P. J., 1965. Gradient measurements in aeromagnetic surveying. *Geophysics*, 30, 891-902.  
International Atomic Energy Agency, 1991. Airborne gamma ray spectrometry surveying. Technical Reports Series 323, IAEA, Vienna.  
International Atomic Energy Agency, 2003. Guide lines for radiometric mapping using gamma ray spectrometry data. Technical Reports Series 383, IAEA.

**Planimetric symbols / Symboles planimétriques**  
Project limit: ———  
Drainage: ———  
Flight lines, radial: ———  
Topographic contour: ———  
Limit of project: ———  
Drainage: ———  
Lines of flight: ———  
Contour of level: ———

MAP SHEET SUMMARY / SOMMAIRE DES FEUILLETS

SHEET/FEUILLET	MAP/CARTE
1	Natural Air Absorbed Dose Rate
2	Potassium
3	Uranium
4	Thorium
5	Uranium / Thorium
6	Uranium / Potassium
7	Thorium / Potassium
8	Ternary Radiolomont Map Diagramme ternaire des radionucléides
9	Residual Total Magnetic Field Composante résiduelle du champ magnétique total
10	First Vertical Derivative of the Magnetic Field Dérivée première verticale du champ magnétique



NATIONAL TOPOGRAPHIC SYSTEM REFERENCE AND GEOPHYSICAL MAP INDEX / SYSTÈME DE RÉFÉRENCE CARTOGRAPHIQUE ET INDEX DES CARTES GÉOPHYSIQUES

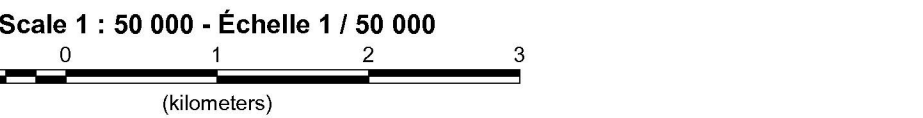
GSC OPEN FILE 6501 / DOSSIER PUBLIC 6501 DE LA CGC / GEOPHYSICAL SERIES / SÉRIE DES CARTES GÉOPHYSIQUES

AIRBORNE GEOPHYSICAL SURVEY OF THE MIERTSCHING LAKE WEST AREA, NUNAVUT / LEVÉ GÉOPHYSIQUE AÉROPORTÉ DE LA PARTIE OUEST DE LA RÉGION DU LAC MIERTSCHING, NUNAVUT  
NTS 46 N/10 and 46 N/9 / SNRC 46 N/10 et 46 N/9

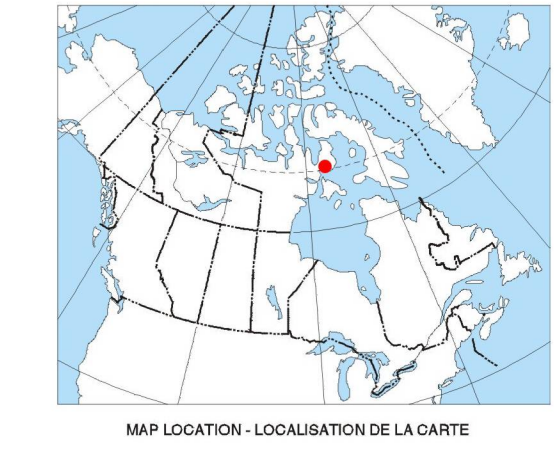
URANIUM / THORIUM

Authors: Fortin, R., Coyle, M., Hafford, S.W., Carson, J.M., and Faulkner, E.L.  
Data acquisition, completion and map production by Terrapoint Ltd., Markham, Ontario.  
Contract and project management by the Geological Survey of Canada, Ottawa, Ontario.

Auteurs: Fortin R., Coyle M., Hafford S.W., Carson J.M., et Faulkner E.L.  
L'acquisition et la compilation des données, ainsi que la production des cartes, ont été effectuées par Terrapoint Ltd., Markham, Ontario.  
La gestion et la supervision du projet ont été effectuées par la Commission géologique du Canada, Ottawa, Ontario.



Universal Transverse Mercator Projection / Projection transverse universelle de Mercator  
North American Datum 1983 / Système de référence géodésique nord-américain, 1983  
© Her Majesty the Queen in Right of Canada 2011  
Digital Topographic Data provided by Geomatics Canada, Natural Resources Canada / Données topographiques numériques de Géomatics Canada, Ressources naturelles Canada



**OPEN FILE / DOSSIER PUBLIC 6501**  
GEOLOGICAL SURVEY OF CANADA / COMMISSION GÉOLOGIQUE DU CANADA  
2011  
SHEET / FEUILLET C 10

**Recommended Citation:**  
Fortin, R., Coyle, M., Hafford, S.W., Carson, J.M., and Faulkner, E.L., 2011. Airborne Geophysical Survey of the Mierschling Lake West Area, Nunavut, NTS 46 N/10 and 46 N/9. Geological Survey of Canada, Open File 6501, scale 1:50 000.

**Notation bibliographique conseillée:**  
Fortin, R., Coyle, M., Hafford, S.W., Carson, J.M., et Faulkner, E.L., 2011. Série des cartes géophysiques. Levé géophysique aéroporté de la partie ouest de la région du lac Mierschling, Nunavut, SNRC 46 N/10 et 46 N/9. Commission géologique du Canada, Dossier public 6501, échelle 1:50 000.

